

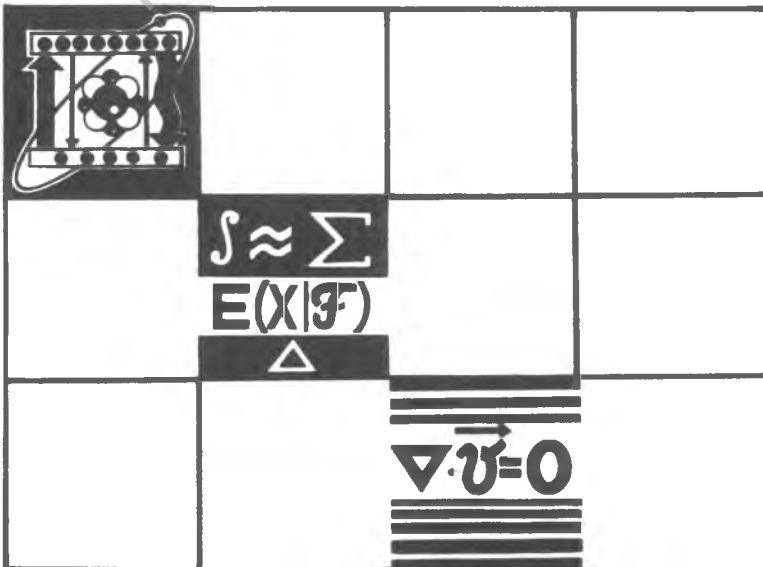
ВЕСТНИК

Белорусского государственного
университета

СЕРИЯ 1

Физика
Математика
Механика

3 '93



$y(zz)x$, а в остальных, относящихся к А-типу, представлены полосами с меньшей интенсивностью, чем у ТГС. Этому можно дать следующее объяснение. Дейтерий, как более тяжелый элемент, по сравнению с водородом, при одинаковых внешних воздействиях должен иметь меньшее среднеквадратичное отклонение от положения равновесия. Следовательно, степень динамического разупорядочения у дейтерия будет меньше и нарушение правил отбора у ДТГС будет не такое сильное, как в ТГС. Таким образом, колебания, которые связаны со сравнительно небольшим искажением межмолекулярных Н-связей, при замене водорода на дейтерий становятся более поляризованными.

Сравнительный анализ низкочастотных спектров КР кристаллов ДТГС и ТГС позволил отнести ряд спектральных линий к колебаниям сульфатных или глициновых групп. Это позволяет более обоснованно интерпретировать температурную динамику колебаний решетки у кристаллов ряда ТГС.

Список литературы

1. Wood E. A., Holden A. H.//Acta Cryst. 1957. V. 10. P. 145.
2. Лайнс М., Гласс А. Сегнетоэлектрики и родственные им материалы. М., 1981. С. 367.
3. Галанов Е. К., Кисловский Л. Д., Шувалов Л. А., Иванов Н. Р.//Изв. АН СССР. Сер. физ. 1969. Т. 33. С. 246.
4. Winterfeldt V., Schaack G.//Ferroel. 1977. V. 15. P. 21, 35.
5. Малярович А. М., Последович М. Р., Тарасевич Е. В.//Вестн. Белорус. ун-та. Сер. 1: Физ. Мат. Мех. 1988. № 1. С. 11.
6. Комяк А. И., Малярович А. М., Последович М. Р.//ЖПС. 1993. Т. 59. С. 202.
7. Кау М. I., Kleinberg R.//Ferroel. 1973. V. 5. P. 45.
8. Жуков С. Г., Тафеенко В. А., Фетисов Г. В.//Журн. структ. химии. 1990. т. 31. С. 84.

Поступила в редакцию 31.05.93.

УДК 621.373.8

И. М. ГУЛИС, К. А. САБЧНИКОВ, В. А. ЦВИРКО

УПРАВЛЕНИЕ СПЕКТРОМ ГЕНЕРАЦИИ КОРОТКОРЕЗОНАТОРНОГО ЛАЗЕРА ПУТЕМ ИНЖЕКЦИИ СУБФЕМТОДЖОУЛЬНЫХ ПИКОСЕКУНДНЫХ ИМПУЛЬСОВ

Radiation spectrum control of a short-cavity dye laser has been experimentally implemented by injection of a narrow-band signal.

Короткорезонаторные лазеры на красителях (КРЛ) представляют собой простые и удобные источники перестраиваемого по спектру излучения [1–4]. Одним из важных свойств лазеров такого типа являются весьма низкие пороговые плотности энергии накачки, в особенности в режиме накачки пикосекундными импульсами [4]. Предварительные оценки показывают, что пороговые плотности энергии для высокодобротных резонаторов могут быть ниже 10^{-4} Дж/см². В этом плане вполне реалистичной выглядит возможность создания на базе КРЛ (интерферометра Фабри–Перо, заполненного активной средой) многоэлементного лазерного транспаранта с оптической пикселляцией (энергия одиночного пикосекундного импульса в 10^{-3} Дж достаточна для накачки $\sim 10^7$ элементов – «микролазеров» с площадью 10^2 мкм² каждый). Более того, как показывается в настоящей работе, излучением такого «микролазера» можно эффективно управлять с помощью инъекции пикосекундных импульсов света с длиной волны, лежащей в пределах полосы усиления активной среды. Лазерам с инъекцией сигнала посвящено большое число работ (см. обзор в [5]). Наиболее существенной с практической точки зрения особенностью лазеров с инъекцией является высокая энергетическая эффективность преобразования запасенной в неселективном резонаторе энергии (которая в отсутствие инжектируемого сигнала излучается в широком спектральном диапазоне) в энергию, излучаемую на длине волны узкополосного инжектируемого излу-

лись фотоумножителем ФЭУ-87 с последующим выводом сигнала на стробоскопический осциллограф С7-13, запуск которого осуществлялся от коаксиального фотоэлемента 17. Введение нейтральных ослабителей 13 предотвращало выход за пределы динамического диапазона фотоприемника. Измерения средних мощностей накачивающего и инжектируемого излучений проводились на болометрическом измерителе мощности ИМО-2М.

При отсутствии инжектируемого излучения спектр генерации КРЛ представляет собой набор узких ($\Delta\nu_{1/2} \approx 1,5$ см) линий, соответствующих собственным модам ИФП с межмодовым расстоянием $\approx 2,5$ нм. Количество мод, присутствующих в спектре генерации, зависит от плотности энергии накачки и составляет 7–12. Поляризация генерации КРЛ совпадает с поляризацией накачивающего излучения. Длительность цуга пикосекундных импульсов генерации КРЛ сокращается примерно вдвое по сравнению с длительностью цуга накачки.

При инъекции в КРЛ излучения, частота которого совпадает с частотой одной из мод (в дальнейшем будем обозначать моду, в которую производится инъекция, символом J), близкой к максимуму спектра генерации, спектральный состав выходного излучения резко меняется: происходит значительное усиление на частоте инъекции и ослабление всех остальных мод КРЛ. Наблюдаемое визуально подавление этих мод усиливается с ростом энергии инжектируемых импульсов. Следует, однако, иметь в виду, что визуально наблюдаемая картина не вполне адекватно отражает картину затягивания входной частоты. Дело в том, что и излучение накачки и инжектируемое представляют собой цуги импульсов, при этом цуг инжектируемых импульсов от ЛК заметно короче цуга накачки. Таким образом, при визуальной (т. е. интегральной по времени) регистрации вклад в общую картину спектра имеется и от импульсов КРЛ, для которых импульс от ЛК попросту отсутствует. Регистрация же интенсивности излучения на моде, соседней по отношению к той, в которую осуществляется инъекция, при помощи стробоскопического осциллографа с настройкой по времени на один импульс из середины цуга генерации ЛК показала, что соседняя мода подавляется полностью при инъекции сигнала с плотностью энергии порядка $2 \cdot 10^{-10}$ Дж/см². Эффект затягивания частоты весьма чувствителен к временной синхронизации моментов прихода в КРЛ инжектируемых и накачивающих импульсов и максимален при задержке импульса накачки на время порядка полуширины импульсов (~ 30 пс).

КРЛ с инъекцией может рассматриваться как устройство, выполняющее логические функции, например функцию «И». Наличие выходного сигнала (излучение на частоте моды J) при одновременном воздействии импульса накачки и инжектируемого импульса (входные сигналы) может отождествляться с логической «1», а при отсутствии инжектируемого импульса или импульса накачки, или обоих выходной сигнал в идеальном варианте должен быть равен нулю. Присутствие отличного от нуля сигнала на выходе («пьедестала») в трех последних случаях нежелательно. (Нетрудно убедиться, что возможности реализации логических функций расширяются при включении в рассмотрение эффекта подавления генерации на других модах). Рассмотрим возможности устранения обсуждавшихся выше «пьедесталов».

Вне зависимости от поляризации инжектируемого излучения, выходное излучение КРЛ имеет поляризацию, совпадающую с поляризацией накачки. Поэтому в наших экспериментах плоскость поляризации инжектируемого излучения, задаваемая поляризатором 7, составляла угол 45° с плоскостью поляризации накачки, а поляризатор 12 был скрещен с поляризатором 7. В таких условиях при отсутствии импульса накачки входной импульс от ЛК не пройдет через систему. Кроме того, эта схема позволяет избежать «пьедестала» в выходном сигнале, обусловленного тем, что часть инжектируемого излучения пространственно не совпадает в активном слое КРЛ с накачиваемой областью.

Собственная генерация КРЛ без инъекции в моде J также может рассматриваться как «пьедестал» в контексте обсуждавшихся выше логических функций устройства. Однако совсем не обязательно осуществлять инъекцию в одну из центральных мод из спектра генерации

КРЛ. Контраст (отношение усиленного сигнала к интенсивности генерации КРЛ на моде J без инжекции) может быть улучшен, если в качестве J выбрать одну из мод на краю спектра генерации, обладающих заметно меньшими интенсивностями. Более того, в качестве J может быть выбрана мода, на которой при отсутствии инжекции генерация в КРЛ не наблюдается. Действительно, свободная (без инжекции) генерация КРЛ снижает инверсию населенности до уровня ниже порогового для некоторых мод, находящихся на краях спектра усиления; в этом случае при отсутствии свободной генерации уровень инверсии для этих мод мог бы превышать пороговый. Инжекция внешнего сигнала в одну из таких мод не позволяет развиваться генерации на модах вблизи максимума полосы усиления, в результате чего наблюдается усиление инжектируемого сигнала. Таким образом, соответствующим выбором моды J полностью устраняется «пьедестал», обусловленный свободной генерацией.

Перейдем к рассмотрению энергетических характеристик КРЛ с инжекцией. На рис. 2 представлены типичные экспериментальные зависимости энергии импульсов генерации КРЛ в моде J от энергии инжектируемых импульсов (инжекция в «негенерирующую» моду). Определение всех измеряемых значений энергии производилось путем регистрации сигнала с помощью стробоскопического осциллографа, настроенного по времени на максимальный импульс цуга. Измерив значения средней мощности лазера накачки и ЛК, зная частоту следования цугов, число импульсов в цугах и форму огибающей цугов, можно перейти от средних мощностей к энергиям и установить соответствие величин стробоскопически измеряемых сигналов и энергий импульсов; измерив диаметр накачиваемой в КРЛ области, переходим к плотностям энергии. Приводимые на рис. 2 значения энергий пересчитаны к размеру рабочей площадки (накачиваемой области) в интерферометре диаметром 20 мкм. Выбор такого размера рабочего элемента содержит определенный произвол, однако может быть мотивирован технической простотой фокусировки излучения до такого диаметра пятна. Кроме того, «микрولазер» с длиной резонатора 50 мкм и диаметром активной среды 20 мкм может, по-видимому, с хорошей степенью приближения рассматриваться как лазер с малыми дифракционными потерями. Энергия накачки в расчете на элемент составляла $1,2 \cdot 10^{-9}$ Дж.

Из рис. 2 следует, что КРЛ откликается выходным сигналом на входной сигнал с энергией (в расчете на обсуждавшийся выше размер элемента) порядка 10^{-17} Дж, причем отклик является уверенным по причине отсутствия сколь-нибудь заметного уровня «пьедестала» в сигнале (при отсутствии накачки инжектируемое излучение блокируется поляризаторами, собственная генерация КРЛ без инжекции в выбранной моде J отсутствует). При этом для низких интенсивностей входных сигналов коэффициент усиления лежит в области $3 \cdot 10^4 - 10^4$. Таким образом, можно констатировать, что рассматриваемое устройство может управляться рекордно низкими по энергии импульсами, по крайней мере на 2 порядка выше достигнутого к настоящему времени уровня [8–10]. Низкие энергии накачки (питания) и инжекции (сигнала) в расчете на элемент и технологическая простота реализации КРЛ с рабочей площадью в единицы квадратных сантиметров позволяют рассматривать такое устройство как прототип сверхмногоэлементного (многоканального) усилителя с достижимым числом каналов более $10^6 - 10^7$, обладающего низким уровнем шумов и тем самым реагирующего на входные сигналы субфемтоджоульного диапазона. Высокие коэффициенты усиления, идентичность «рабочей» длины волны на входе и выходе позволяют реализовывать многокаскадность и/или циклическое прохождение сигнала по оптической цепи даже при наличии больших потерь. В частности, представляется вполне реальной возможность организации разветвленной системы связей между элементами одного или нескольких устройств такого типа. В оптическую цепь могут быть дополнительно введены устройства с пороговым откликом на входной сигнал. В настоящее время исследуются возможности реализации порогового отклика непосредственно в КРЛ.

Список литературы

1. Бушук Б. А., Корда И. М., Ступак А. П., Рубинов А. И. // ЖПС. 1978. Т. 29. № 5. С. 807.
2. Fan B., Gustafson T. K. // Appl. Phys. Lett. 1976. V. 28. № 4. P. 202.
3. Cox A. J., Scott G. W. // Rev. Scient. Instr. 1984. V. 55. № 3. P. 358.
4. Гулис И. М., Саечников К. А., Цвирко В. А. // Вестн. Белорус. ун-та. Сер. 1: Физ. Мат. Мех. 1987. № 3. С. 26.
5. Nair L. G. // Prog. Quant. Electr. 1982. V. 7. № 3, 4. P. 153.
6. Гулис И. М., Саечников К. А., Комьяк А. И., Цвирко В. А. // ЖПС. 1987. Т. 47. № 3. С. 489.
7. Саечников К. А., Гулис И. М. // Вестн. Белорус. ун-та. Сер. 1: Физ. Мат. Мех. 1989. № 1. С. 3.
8. Гиббс Х. Оптическая бистабильность: Управление светом с помощью света. М., 1988.
9. Ersen A., Krichnakumar S., Ozgur V. et al. // Appl. Opt. 1992. V. 31. № 20. P. 3950.
10. Yamana Y., Joshihara K., Ogura I. et al. // Appl. Opt. 1992. V. 31. P. 4676.

Поступила в редакцию 28.12.92.

УДК 535.338.42

*И. П. ЗЯТЬКОВ, Г. А. ПИЦЕВИЧ,
Н. Д. КНЯЖЕВИЧ, В. И. ГОГОЛИНСКИЙ*

АНАЛИЗ ОРГАНИЧЕСКИХ ПЕРОКСИДОВ МЕТОДАМИ КОЛЕБАТЕЛЬНОЙ СПЕКТРОСКОПИИ

Characteristic bands and lines in IR and Raman spectra were indicated for five classes of organic peroxides. The scheme of spectral data analysis was proposed for organic peroxides.

Пероксиды играют важную роль не только в процессе формирования полимерных молекул, где выступают в качестве инициаторов реакции полимеризации, но и при их старении, фотоокислительной деструкции [1]. В обоих случаях актуальным является вопрос качественного анализа органических пероксидов в полимерных средах. Разработанные же к настоящему времени химические методы анализа не обладают свойством универсальности по отношению к пероксидам различных классов и различным типам полимерной матрицы [2]. Количественный анализ карбонилсодержащих пероксидов может быть проведен при помощи ИК спектроскопии [3]. Спектральная идентификация гидропероксидов и пероксидов алкилов возможна лишь по полосам ИК поглощения в спектральном интервале 700 – 1300 см⁻¹, обусловленным колебаниями с участием O – O связи. В этом же интервале частот с большой относительной интенсивностью поглощают практически все органические соединения, ввиду чего использование ИК спектроскопии для количественного анализа пероксидов этих классов практически невозможно. В работах [2, 4, 5] указывается, что эффективным методом идентификации органических пероксидов является спектроскопия КР. Однако до настоящего времени не установлены закономерности проявления ν_{O-O} для каждого класса пероксидов, недостаточно строго обосновано отнесение полос и линий в ИК и КР спектрах.

Таблица 1

Силовое поле пероксидного остова

Силовая константа	Значение $\times 10^6 \text{ см}^{-2}$	Силовая константа	Значение $\times 10^6 \text{ см}^{-2}$	Силовая константа	Значение $\times 10^6 \text{ см}^{-2}$
K _{O-O}	5,5	K _{p C-O}	0,5	K _{OС-O/CO}	0,9
K _{C-O}	8,2	K _{OO/CO}	0,2	K _{OС-O/C-O}	0,6
K _{C-O}	17,5	K _{C-O/CO}	1,2	K _{C-O/C-O}	0,5
K _{COO}	1,7	K _{C-O/CC}	0,7	K _{COO/COO}	0,25
K _{OС-O}	2,2	K _{COO/OO}	0,7		
K _{T_{OO}}	0,1	K _{COO/CO}	0,7		